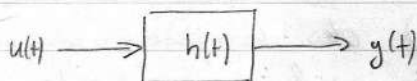


Einführung in die Systemtheorie

Linearität, Zeitinvarianz, Kausalität, Homogenität

 $u(t)$... Eingangssignal $y(t)$... Ausgangssignal $h(t)$... Impulsübertragungsfkt.Linearität: $k \cdot u(t) \Rightarrow k \cdot y(t)$ Homogenität: $u_1 + u_2 \Rightarrow y_1 + y_2$ Zeitinvarianz: $u(t+T) \Rightarrow y(t+T)$ Kausalität: $t \equiv \emptyset, y(t) \equiv \emptyset, h(t) \equiv \emptyset$ wenn $t < \emptyset$

(Ausgangssignal nie vor Eingangssignal!)

Ein lineares System n -ter ^{höchste Ableitung!} Ordnung wird durch folgendes Differentialgleichungssystem beschrieben:

$$a_n \frac{\partial^n y}{\partial t^n} + a_{n-1} \frac{\partial^{n-1} y}{\partial t^{n-1}} + \dots + a_0 y = b_m \frac{\partial^m u}{\partial t^m} + b_{m-1} \frac{\partial^{m-1} u}{\partial t^{m-1}} + \dots + b_0 u_0$$

→ Definition! (muß man jetzt glauben!)

(1)

Linearität: Alle Differentialquotienten kommen nur in erster (= linearer) Ordnung vor!Zeitinvarianz (Stationarität): Koeffizienten a_n, b_n sind Konstanten!

Allgemeine Lösung von (1) im Zeitbereich durch Integration. Ergebnis:

$$y(t) = \int_0^t u(t') h(t-t') dt'$$

→ Allgemeine Lösung für lineare Filter. Die

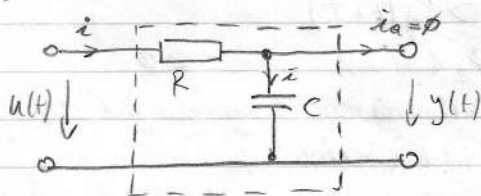
Kunst liegt in der Bestimmung von $h(t)$!

Obiges Integral wird auch als Faltungintegral bezeichnet!

→ Faltung (Symbol \otimes) des Eingangssignals $u(t)$ mit der Impulsübertragungsfunktion $h(t)$:

$$\boxed{y(t) = u(t) \otimes h(t)} \quad (2)$$

Beispiel zu Gl (1), (2): RC-Filter



Kirchhoff: $y(t) = u(t) - R \cdot \dot{x}(t)$

$$Q = C \cdot y$$

$$y(t) = \frac{Q}{C} = \frac{1}{C} \int \dot{x}(t) dt$$

$$/ \frac{d}{dt}$$

$$\frac{dy(t)}{dt} = \dot{y} = \frac{\dot{x}(t)}{C} \Rightarrow \dot{x}(t) = C \dot{y}$$

$$\Rightarrow y(t) = u(t) - RC \dot{y}$$

$$\Leftrightarrow u(t) = y(t) + RC \frac{dy(t)}{dt} = y(t) + \tau \cdot \frac{dy(t)}{dt}$$

$$\Leftrightarrow \boxed{\frac{dy(t)}{dt} + \frac{1}{\tau} y(t) = \frac{1}{\tau} u(t)} \quad (\text{vgl (1)!})$$

⇒ Filter ersten Ordnung (LC -- 2. Ordnung)

Allgemein: Die Zahl der speichernden Elemente (= Blindelemente) gibt Ordnung

(3)

Lösung zeigen Differentialgleichung mittels integrierendem Faktor („Euler'scher Multiplikator“): $e^{t/\tau}$

$$e^{t/\tau} \frac{dy(t)}{dt} + \frac{e^{t/\tau}}{\tau} y(t) = \frac{e^{t/\tau}}{\tau} u(t)$$

$$\frac{d}{dt} [y(t) \cdot e^{t/\tau}] = \frac{e^{t/\tau}}{\tau} u(t)$$

$$\int_0^t \frac{d}{dt'} [y(t') \cdot e^{t'/\tau}] dt' = \int_0^t \frac{e^{t'/\tau}}{\tau} u(t') dt'$$

$$y(t') e^{t'/\tau} \Big|_0^t = \frac{1}{\tau} \int_0^t e^{t'/\tau} u(t') dt'$$

$$y(t) e^{t/\tau} - y(0) = \text{---} \text{---} \text{---} \quad \left| \begin{array}{l} \text{Anfangsbed:} \\ y(0) = 0 \end{array} \right.$$

$$\Rightarrow y(t) = \frac{1}{\tau} \int_0^t u(t') e^{\frac{t-t'}{\tau}} dt'$$

$$y(t) = \frac{1}{\tau} \int_0^t u(t') e^{-\frac{t-t'}{\tau}} dt'$$

$$\Leftrightarrow y(t) = \frac{1}{\tau} \int_0^t u(t') h(t-t') dt'$$

→ Faltungsintegral!

$$\Leftrightarrow h(t) = \frac{1}{\tau} e^{-t/\tau} \quad \rightarrow h(t) = \text{Impulsübertragungsfunktion des RC-Glieds!}$$

Einschub: Fourier-Reihe, Fourier Transformation

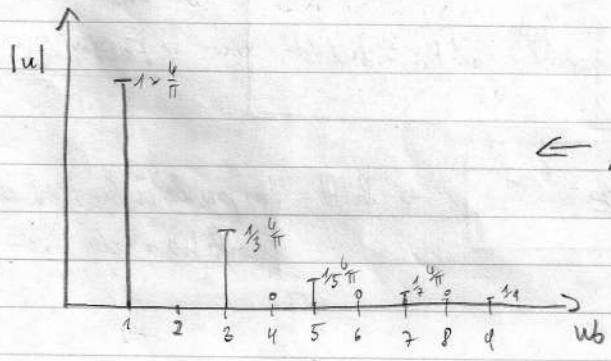
Fourier-Reihe: Zerlegung periodischen Signale in ihre Frequenzbestandteile!

$$f(t) = \frac{a_0}{2} + \sum_{k=1}^{\infty} (a_k \cdot \cos(kt) + b_k \cdot \sin(kt))$$
$$\text{mit } a_k = \frac{1}{\pi} \int_{-\pi}^{+\pi} f(t) \cdot \cos(kt) dt$$
$$b_k = \frac{1}{\pi} \int_{-\pi}^{+\pi} f(t) \cdot \sin(kt) dt$$

Amplituden
der einzelnen
Frequenzanteile

- Signal kann in unendliche Summe von Sinus- und Cosinus-Termen zerlegt werden
- Amplituden zu jeder Frequenz (a_k, b_k) gibt an, wie "stark" diese Frequenz im Signal enthalten ist
- Beispiel Rechtecksignal (Folie)

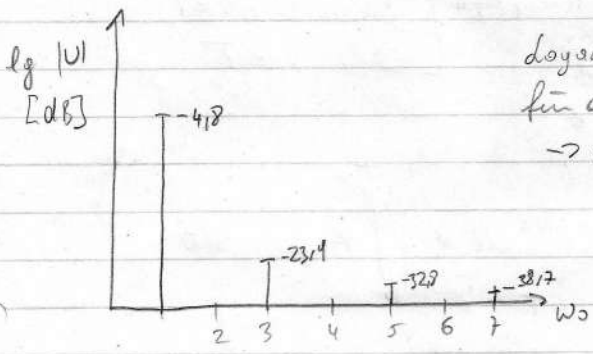
$$u(t) = 4 \frac{U}{\pi} \left(\sin(\omega_0 t) + \frac{1}{3} \sin(3\omega_0 t) + \frac{1}{5} \sin(5\omega_0 t) + \dots \right)$$



← "Spektrum"

→ Beispiel: Dreiecksignal:

$$u(t) = 8 \frac{U}{\pi^2} \left(\frac{1}{1^2} \sin(\omega_0 t) - \frac{1}{3^2} \sin(3\omega_0 t) + \frac{1}{5^2} \sin(5\omega_0 t) - \dots \right)$$



logarithmischer Maßstab
für die Amplitude sinnvoll!
→ dB-Skala
 $U=1 = 0 \text{ dB}$

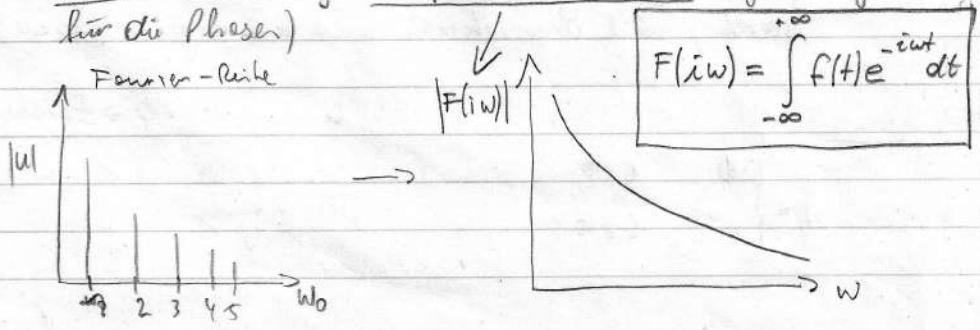
"Spektrum"

Behandlung nicht-periodischer Signale?

$$\rightarrow T \rightarrow \infty \Rightarrow \omega_0 \rightarrow 0, \quad \Sigma \rightarrow \int$$

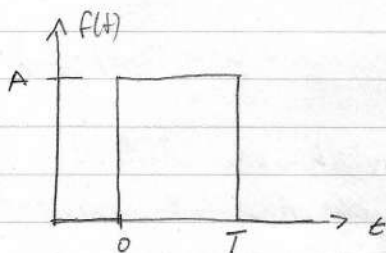
⇒ Fourier Transformation

- Erweiterung der Fourier-Reihe für nicht-periodische Signale.
- Das Spektrum besteht nun nicht mehr aus absoluten Amplituden an diskreten Frequenzen $n \cdot \omega_0$ (Vielfachen einer Grund = Frequenz), sondern es besteht aus einer kontinuierlichen Funktion der sg. Amplitudendichte (gleiches gilt für die Phasen)



(6)

Beispiel: Fourier-Transformation:



$$f(t) = \begin{cases} 0 & t < 0 \\ A & 0 \leq t < T \\ 0 & t \geq T \end{cases}$$

$$F(i\omega) = \int_{-\infty}^{+\infty} f(t) \cdot e^{-i\omega t} dt = \int_0^T A \cdot e^{-i\omega t} dt$$

$$= -\frac{A}{i\omega} \cdot e^{-i\omega t} \Big|_0^T = \frac{A}{i\omega} (1 - e^{-i\omega T})$$

konstante $e^{-i\omega t}$

$$\Rightarrow |F(i\omega)| = \frac{A}{\omega} \sqrt{(1 - \cos(\omega T))^2 + \sin^2(\omega T)}$$

$$= \frac{A}{\omega} \sqrt{1 - 2\cos\omega T + \cos^2\omega T + \sin^2\omega T}$$

$$= \frac{A}{\omega} \sqrt{1 - 2\cos\omega T + 1} = \frac{A}{\omega} \sqrt{2(1 - \cos\omega T)}$$

$\xrightarrow{1}$ $\xrightarrow{1}$

Laplace - Transformation

Problem bei der Fourier-Transformation:

→ Viele Signale können nicht Fourier-transformiert werden, weil das Integral nicht konvergiert ($\rightarrow \infty$)

Bsp:

$$f(t) = \begin{cases} 0 & t < 0 \\ e^{at} & t \geq 0 \end{cases}$$

Sonderfall $a=0 \rightarrow$ Einheitsprung

$$f(t) = \begin{cases} 0 & t < 0 \\ 1 & t \geq 0 \end{cases}$$

(7)

$$F(i\omega) = \int_{-\infty}^{\infty} f(t) \cdot e^{-i\omega t} dt = \int_0^{\infty} e^{at} \cdot e^{-i\omega t} dt = \int_0^{\infty} e^{(a-i\omega)t} dt$$

$\rightarrow \infty \quad \forall a \geq 0!$

Ausweg: Laplace Transformation

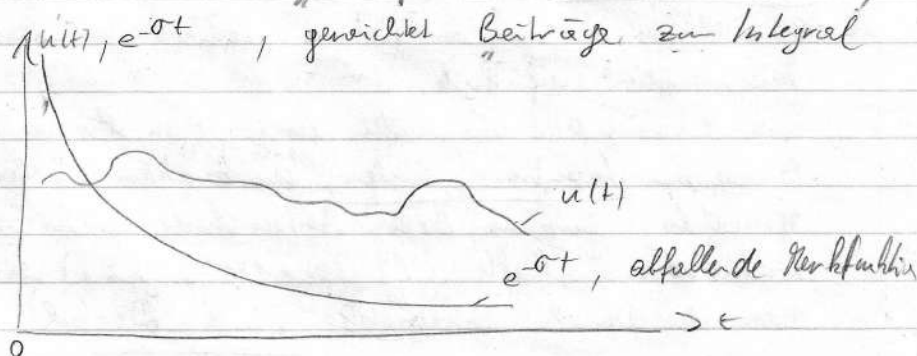
\rightarrow Erweiterung der Fourier-Transformation, nämlich insbesondere für Signale, für die die Fourier-Transformierte nicht konvergiert (z.B.: Stufenfunktion = Einheitsprung)

Einführung einer Dämpfungskonstante σ (oft auch δ genannt) und kombiniert diese mit der (reellen) Frequenz ω zur komplexen Frequenz $s = \sigma + i\omega$

$$\lim_{\sigma \rightarrow 0} L(s) = F(i\omega)$$

$$\lim_{\sigma \rightarrow 0} L(s) = F(i\omega) \quad (\text{oft in der Literatur so zu finden})$$

$e^{-\sigma t}$ kann als "Herkfunktion" betrachtet werden, multipl. $e^{-\sigma t}$, gewichtet Beiträge zum Integral



②

(Ein psychologisches Analogon wäre das Lesen eines Buches:
An die zuletzt gelesenen "neueren" Seite (Kapitel) kann
man sich stets besser erinnern als an die zeitlich
weiter zurück liegenden.)

Für die hier zu behandelnden kausalen Signale
können auch die Beiträge vor $t=0$ weggelassen
werden.

Mit allem Bisherigen folgt die Definition
„Einseitige Laplace transformierte für
kausale Signale“:

$$F(s) = \mathcal{L}\{u(t)\} = u(s) = \int_0^{\infty} u(t) e^{-st} dt \quad (3)$$

Das Verfahren wurde ungarischen Mathematiker
József Miksa Petzval (1807-1891) erstmalig systematisch
angewendet, während der französische Mathematiker Pierre
Simon Laplace (1749-1827) - nachdem das Verfahren
benannt wurde nur im Rahmen seiner Wahrscheinlich-
keitsstruktur aufführte.

Erste Hinweise auf die Idee findet man bereits beim
Schweizer Leonhard Euler ^{(1707-1783)??}, die exakten mathematischen
Grundlagen für die breite Anwendung in Technik und
Naturwissenschaften (1950er-1960er Jahre) erarbeitete
aber der Däne Mathematiker Gustav Doetsch (1892-1977)

(9)

(3) kann immer konvergent gemacht werden, wenn σ groß genug gewählt wird (mathematisch beweisbar!)

→ Beispiel (kont'd) von vorhin:

$$F(i\omega) = \int_0^{\infty} e^{(a-\sigma-i\omega)t} dt = \frac{1}{a-\sigma-i\omega} e^{a-\sigma-i\omega} \Big|_0^{\infty}$$

$$= \frac{1}{\sigma+i\omega-a} = \frac{1}{s-a} = F(s)$$

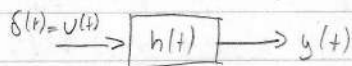
Einheitsprung: $a=0 \rightarrow \underline{\underline{F(s) = \frac{1}{s}}}$

↳ Laplace Transformierte d. 1-Sprungs

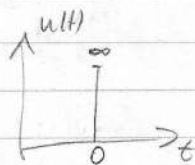
Geschub

Impulsantwort:

→ nach Rücktransformation S.10



Dirac-Impuls: $\delta(t) = \begin{cases} \infty & \text{für } t=0 \\ 0 & \text{sonst} \end{cases}$



$$y(t) = \int_0^t \delta(t') \cdot h(t-t') dt' \stackrel{!}{=} h(t)$$

Die Impulsantwort eines LTI-Systems entspricht seiner Übertragungsfunktion!

Laplace-Rücktransformation:

$$u(t) = \frac{1}{2\pi} \int_{-\infty}^{+\infty} U(s) e^{st} dw \quad \overset{s=\sigma+j\omega}{=} \boxed{\frac{1}{2\pi j} \lim_{\omega \rightarrow \infty} \int_{\sigma-j\omega}^{\sigma+j\omega} U(s) e^{st} ds} \quad (4)$$

Symbolische Schreibweise:

$F(s)$ ist die Laplace-Transformierte von $f(t)$

$$F(s) \longleftrightarrow f(t) \quad \text{oder} \quad F(s) = \mathcal{L}\{f(t)\}$$

$$f(t) \longleftrightarrow F(s) \quad \text{oder} \quad f(t) = \mathcal{L}^{-1}\{F(s)\}$$

Bisher bekannt Laplace-Transformiert:

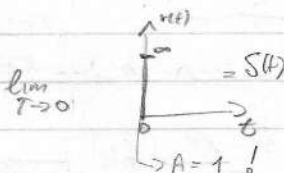
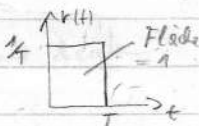
$$f(t) = \begin{cases} 0 & \text{für } t < 0 \\ e^{at} & \text{für } t \geq 0 \end{cases} \longleftrightarrow F(s) = \frac{1}{s-a}$$

Sonderfall Einheitsprung:

$$z(t) = f(t) = \begin{cases} 0 & \text{für } t < 0 \\ 1 & \text{für } t \geq 0 \end{cases} \longleftrightarrow F(s) = \frac{1}{s}$$

Dirac-Impuls $\delta(t)$:

$$\delta(t) = \begin{cases} \infty & \text{für } t = 0 \\ 0 & \text{sonst} \end{cases}$$

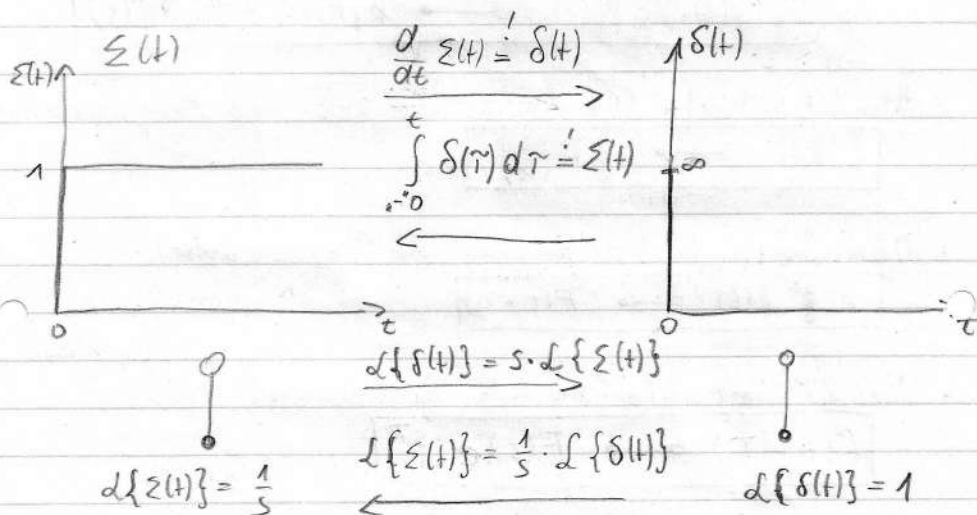


$$\mathcal{L}\{\delta(t)\} = \int_0^{\infty} \delta(t) \cdot e^{-st} dt = 1 \cdot e^{-s \cdot 0} \stackrel{!}{=} 1 \quad \forall w \text{ in } s = \sigma + j\omega$$

Dies bedeutet, dass alle Frequenzen im Spektrum gleich stark vertreten sind. Damit eignet sich der Dirac-Impuls gut, um die Eigenschaften eines dynamischen Systems zu ermitteln, da alle Frequenzen gleichzeitig gleich stark angeregt werden. Jede Über- oder Untergewichtung bestimmter Frequenzanteile im Ausgangssignal sind dann auf das System verhalten zurückzuführen!

→ Einschub Impulsantwort $L(s, q)$

Einheitsprung $\Sigma(t)$ und der Dirac-Impuls $\delta(t)$ sind die am häufigsten betrachteten Eingangsgrößen für dynamische Systeme. Beide stehen in enger Beziehung zueinander:



Eine Differentialgleichung im Zeitbereich wird zu einer algebraischen Gleichung im Laplace-Bereich (Frequenzbereich, Bildbereich).

$$\left(\int \cdots \quad \frac{d}{dt} \cdots : \quad (!) \right)$$

→ Anwendung der Laplace-Transformation auf das Faltungsintegral (2)!

$$y(t) = u(t) \otimes h(t) = \int_0^t u(t') h(t-t') dt' \rightsquigarrow \underline{\underline{U(s) \cdot H(s) = Y(s)}}$$

→ Faltungssatz

→ Aus der Faltung wird eine Multiplikation!

Eigenschaften der Laplace-Transformation:

- Linearität (Überlagerung)

$$k_1 f_1(t) + k_2 f_2(t) \rightarrow k_1 F_1(s) + k_2 F_2(s)$$

- Ähnlichkeitssatz (Skalierung der Zeit- bzw. Frequenzachse)

$$f(kt) \rightarrow \frac{1}{k} F\left(\frac{s}{k}\right)$$

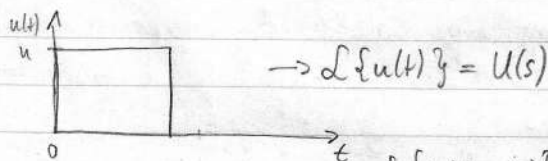
- Dämpfungssatz (Verschiebung der Frequenzachse)

$$e^{-at} f(t) \rightarrow F(s+a)$$

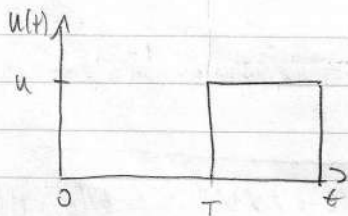
- Verschiebungssatz (zeitliche Verschiebung)

$$f(t-T) \rightarrow F(s)e^{-sT}$$

Beweis:



$$\mathcal{L}\{u(t-T)\} = \int_0^{\infty} u(t-T)e^{-st} dt$$



$$e^{-st'}$$

Substitution:
 $t-T = t'$
 $\frac{dt'}{dt} = 1 \Rightarrow dt' = dt$

$$= \int_T^{\infty} u(t') e^{-s(t'+T)} dt'$$

$$= e^{-sT} \int_0^{\infty} u(t') e^{-st'} dt' = e^{-sT} \cdot U(s) \quad \# \text{ p.d.}$$

\rightarrow Kausalität $\forall t < 0$ gibt kein Signal

Weitere Beispiele von Laplace-Transformale

	$u(t)$ ($f(t)$)	$U(s)$ ($F(s)$)
Rampe	t (\nearrow)	$1/s^2$
Exponentialfunktion	$e^{\lambda t}$	$1/(s-\lambda)$
Sinusfunktion	$\sin(\omega t)$	$\omega/(s^2+\omega^2)$
Cosinusfunktion	$\cos(\omega t)$	$s/(s^2+\omega^2)$

→ Tabellenhilfe
z.B. Bronstein

Differentiation im Zeitbereich:

$$\mathcal{L}\left\{\frac{d}{dt}f(t)\right\} = s\mathcal{L}\{f(t)\} - f(0) = sF(s) - f(0)$$

Beweis: $\mathcal{L}\left\{\frac{d}{dt}f(t)\right\} = \int_0^{\infty} \frac{d}{dt}f(t) e^{-st} dt = \text{Part. Int. } \int u dv = uv - \int v du$

$$= f(t)e^{-st} \Big|_0^{\infty} + s \int_0^{\infty} f(t)e^{-st} dt = -f(0) + sF(s) \quad \# \text{ged.}$$

$F(s)$

Integration im Zeitbereich

$$\int_0^t f(\tau) d\tau \longleftrightarrow \frac{1}{s} F(s)$$

Beim Rechnen mit dynamischen Systemen gehört die Differentiation und die Integration neben der Multiplikation zu den wichtigsten Operationen!

Bestimmung des Anfangswertes für $f(t)$

$$f(t=0) = \lim_{t \rightarrow 0} f(t) = \lim_{s \rightarrow \infty} s \cdot F(s)$$

Auch sie vereinfachen sich drastisch in eine Multiplikation bzw. Division durch die komplexe Frequenzvariable!

→ Falls die Grenzwerte existieren lässt sich ziemlich schnell der Anfangswert des Zeitverlaufes bestimmen!

Bestimmung des Endwertes $f(\infty)$ von $f(t)$

$$f(\infty) = \lim_{t \rightarrow \infty} f(t) = \lim_{s \rightarrow 0} s \cdot \tilde{f}(s)$$

→ Falls die Grenzwerte existieren lässt sich ziemlich schnell der Endwert des Zeitverlaufs bestimmen!

→ Die Zeit t und die komplexe Frequenz s verhalten sich invers!

Beispiel: Laplace-Transformation der DGL (1) eines linearen Systems;

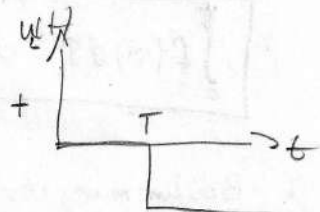
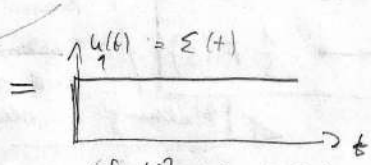
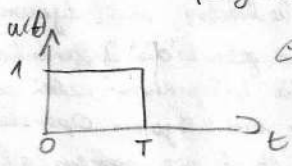
$$a_n \frac{\partial^n y}{\partial t^n} + a_{n-1} \frac{\partial^{n-1} y}{\partial t^{n-1}} + \dots + a_0 y = b_m \frac{\partial^m u}{\partial t^m} + b_{m-1} \frac{\partial^{m-1} u}{\partial t^{m-1}} + \dots + b_0 u$$

$\downarrow \mathcal{L}$ (Zeitbereich)

$$a_n s^n y(s) + a_{n-1} s^{n-1} y(s) + \dots + a_0 y(s) = b_m s^m u(s) + b_{m-1} s^{m-1} u(s) + \dots + b_0 u(s)$$

→ Aus der Differentialgleichung wurde eine algebraische Gleichung!

Beispiel: gesucht ist die Laplace-Transformierte für folgende Funktion $u(t)$ im Zeitbereich:



$$\mathcal{L}\{u(t)\} = U(s) = \frac{1}{s}(1 - e^{-Ts})$$

$$\mathcal{L}\{u_1(t)\} = \frac{1}{s} \quad (s \neq 0)$$

$$\mathcal{L}\{u_2(t)\} = -\frac{1}{s} e^{-Ts}$$

Linearität
(Überlagerungs-
satz)

→ Verschiebungssatz +
Linearität ($k=1$)
- Σ verschoben um T

Übertragungsfunktion im Laplace-Bereich;

$$h(s) = \frac{y(s)}{u(s)} = \frac{b_m s^m + b_{m-1} s^{m-1} + \dots + b_0}{a_n s^n + a_{n-1} s^{n-1} + \dots + a_0} \quad \left(\cdot e^{-T_t s} \right) \quad (8)$$

Totzeit
(Verzögerung)

→ Summen-Standardform, an kann eine Erweiterung immer 1 gesetzt werden (durch dividieren!)

Faktorenzerlegung der Übertragungsfunktion

$$h(s) = k \cdot \frac{(s-d_1)(s-d_2) \dots (s-d_m)}{(s-p_1)(s-p_2) \dots (s-p_n)} = k \cdot \frac{\prod_{i=1}^m (s-d_i)}{\prod_{j=1}^n (s-p_j)} \quad \left(\cdot e^{-T_t s} \right)$$

d_i ... Nullstellen
 p_j ... Pole } der Übertragungsfunktion $h(s)$

→ Produkt-Standardform der Übertragungsfunktion im Laplace-Bereich

Faktorisierung (Überführung Summen-Standardform \Leftrightarrow Produkt-Stdform)

Bsp: $h(s) = \frac{2s}{s^2 + 4s + 3}$

→ Zähler / Nenner Polynom getrennt betrachten

Matlab/Octave:

→ 0-Stellen (u. Wurzeln) berechnen (d_i)

Nenner = [1 4 3];

→ $(s-d_1)(s-d_2) \dots \cdot k$

Zähler = [2 0];

System = tf [Zähler, Nenner]

roots (Nenner)

-3, -1

$\Rightarrow h(s) = \frac{2s}{(s+1)(s+3)}$

Rücktransformation in den Zeitbereich

3 Möglichkeiten:

- 1) Verwendung der Tabelle, d.h. Rückgriff auf die Arbeit Anderer für Standardfälle \rightarrow optimal effektiv, trivial
- 2) Explizite Berechnung des Integrals für die Rücktransformation \rightarrow viel zu mühsam und zu kompliziert
- \rightarrow 3) Vereinfachung der Übertragungsfunktion (Produkt-Standardform), anschließend Verwendung der Tabelle.
 \rightarrow Erklärung folgt jetzt!

Zerlegung der Produkt-Standardform in Partialbrüche!

- Ziel: jeder Summand soll so einfach sein, dass er sich mit der Tabelle rücktransformieren lässt!
- Exkl. Totzeiten werden separat mit dem Verschiebungssatz behandelt: $f(t-T) \leftrightarrow F(s)e^{-sT}$

3 Fälle sind zu unterscheiden

- 1) Pole (= Nullstellen des Nennerpolynoms) einfach und reell
- 2) Es gibt auch konjugiert komplexe Pole
- 3) Reelle Mehrfachpole (selten, wird hier nicht behandelt)

Ausgangslage:
$$h(s) = \frac{Z(s)}{(s-p_1)(s-p_2)\dots(s-p_n)}$$

\rightarrow Struktur des Zählers ist hier unwichtig!

Ziel:
$$h(s) = \underbrace{\frac{R_1}{s-p_1} + \frac{R_2}{s-p_2} + \dots}_{\text{Einzel pole}} + \underbrace{\frac{R_{re} + jR_{ie}}{s-(A_e + jB_e)} + \frac{R_{re} - jR_{ie}}{s-(A_e - jB_e)}}_{\text{konj. Komplexe Pole}}$$

$R_i, R_{re} \pm jR_{ie}$ -- Residuen der Übertragungsfunktion

Vorgehensweise:

1) Faktorisierung

Falls die Übertragungsfunktion nicht in der Produkt-Standardform vorliegt muss zumindest das Nennerpolynom faktorisiert werden.

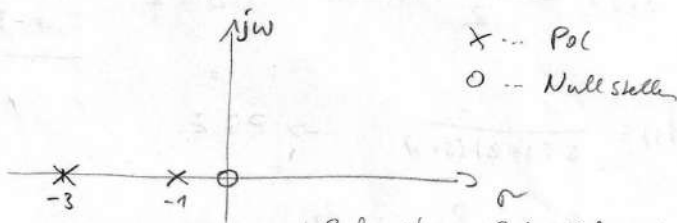
→ Nullstellen des Nennerpolynoms = Polstellen der Übertragungsfunktion!

Siehe Bsp S. 15: $h(s) = \frac{2s}{s^2 + 4s + 3}$

$$= \frac{2s}{(s+1)(s+3)}$$

→ $h(s)$ hat zwei ^{einfache} reelle Polstellen bei -1 und -3

→ Polstellen können im sog. "Pol-Nullstellen-Diagramm" in der komplexen s-Ebene dargestellt werden



Behauptung: Pole bekannt \Rightarrow Verhalten des Systems total bekannt!

2) Partialbruchzerlegung

Es folgt üblicherweise durch Koeffizientenvergleich..

Für einfache, reelle Pole kann der Aufwand durch Anwendung von

$$R_i = \lim_{s \rightarrow \beta_i} (s - \beta_i) h(s)$$

reduziert werden.

Für obiges Beispiel folgt:

$$h(s) = \frac{2s}{(s+1)(s+3)} = \frac{R_1}{(s+1)} + \frac{R_2}{s+3}$$

Residuen?

(18)

$$R_1 = \lim_{s \rightarrow -1} (s+1) h(s) = \frac{-2}{2} = -1 \Rightarrow R_1 = \underline{\underline{-1}}$$

$$R_2 = \lim_{s \rightarrow -3} (s+3) h(s) = \frac{-6}{-2} = +3 \Rightarrow R_2 = \underline{\underline{+3}}$$

$$\Rightarrow h(s) = -\frac{1}{s+1} + \frac{3}{s+3}$$

(i) Bsp: $h(s) = \frac{1}{s(s^2 + 5s + 6)}$

\swarrow
 $(s-s_1)(s-s_2)$
 $s_0 = 0$

ges: $h(t)$

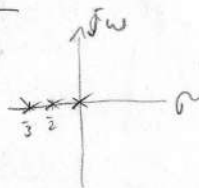
Quadratische Gleichung
 $Ax^2 + Bx + C = 0$
 $\Rightarrow x_{1/2} = \frac{-B \pm \sqrt{B^2 - 4AC}}{2A}$

$$\rightarrow s^2 + 5s + 6 = 0 \Rightarrow$$

$$s_{1/2} = \frac{-5 \pm \sqrt{25 - 24}}{2} = -\frac{5}{2} \pm \frac{1}{2} \rightarrow s_1 = -2$$

$$s_2 = -3$$

$$\Rightarrow h(s) = \frac{1}{s(s+2)(s+3)} \quad \rightarrow \text{PBZ}$$



$$h(s) = \frac{R_1}{s} + \frac{R_2}{s+2} + \frac{R_3}{s+3}$$

$$R_1 = \lim_{s \rightarrow 0} s h(s) = \frac{1}{6}$$

$$R_2 = \lim_{s \rightarrow -2} (s+2) h(s) = \frac{1}{-2} = -\frac{1}{2}$$

$$R_3 = \lim_{s \rightarrow -3} (s+3) \cdot h(s) = \frac{1}{3}$$

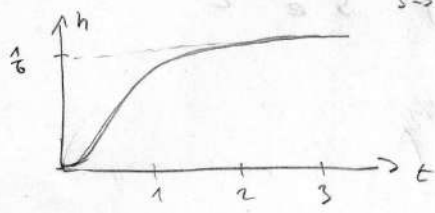
$$\Rightarrow h(s) = \frac{1}{6s} - \frac{1}{2(s+2)} + \frac{1}{3(s+3)}$$

↓ Tabelle

$$\left| \frac{1}{6} \varepsilon(t) - \frac{1}{2} e^{-2t} + \frac{1}{3} e^{-3t} = h(t) \right|$$

Anfangswert: $\lim_{t \rightarrow 0} h(t) = \lim_{s \rightarrow \infty} s \cdot h(s)$
 $= \lim_{s \rightarrow \infty} s \cdot \frac{1}{s(s+2)(s+3)} = 0$

Endwert: $\lim_{t \rightarrow \infty} h(t) = \lim_{s \rightarrow 0} s \cdot h(s)$
 $= \lim_{s \rightarrow 0} s \cdot \frac{1}{s(s+2)(s+3)} = \frac{1}{6}$



HÜ: $h(s) = \frac{1}{s^3 + 3s^2 + 2s}$ ges: Pol-Nst. Diagramm
Nst: -2, -1, 0
Ochse: Zähler = [1 0];
Nenner = [1 3 2];
System = ff(Zähler, Nenner)
roots(Nenner)
→ -2, -1, 0

$h(s) = \frac{1}{s(s+1)(s+2)}$

$h(s) = \frac{R_1}{s} + \frac{R_2}{s+1} + \frac{R_3}{s+2}$

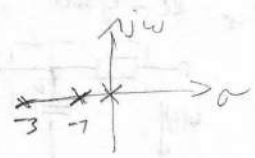
$R_1 = \lim_{s \rightarrow 0} s \cdot h(s) = \frac{1}{2}$

$R_2 = \lim_{s \rightarrow -1} (s+1) h(s) = -1$

$R_3 = \lim_{s \rightarrow -2} (s+2) h(s) = +\frac{1}{2}$

$\Rightarrow h(s) = \frac{1}{2s} - \frac{1}{s+1} + \frac{1}{2} \frac{1}{s+2}$

$h(t) = \frac{1}{2} - e^{-t} + \frac{1}{2} e^{-2t}$



Anfangswert: $\lim_{t \rightarrow 0} h(t) = \lim_{s \rightarrow \infty} s \cdot h(s) = \lim_{s \rightarrow \infty} \frac{1}{(s+1)(s+2)} = 0$

Endwert: $\lim_{t \rightarrow \infty} h(t) = \lim_{s \rightarrow 0} s \cdot h(s) = \lim_{s \rightarrow 0} \frac{1}{(s+1)(s+2)} = \frac{1}{2}$

Bsp.: $h(s) = \frac{1+10s}{s(1+2s)} = \frac{1}{s(2s+1)} + \frac{10}{(2s+1)}$

(20)

$\frac{1}{2} \cdot \frac{1}{s(s+\frac{1}{2})} + \frac{5}{s+\frac{1}{2}}$

Bronstein 637

Bronstein 637

$h(t) = \frac{1}{2} \cdot 2 (1 - e^{-\frac{t}{2}}) \cdot 5 \cdot e^{-\frac{t}{2}}$

$\rightarrow \underline{h(t) = 1 + 4e^{-\frac{t}{2}}}$

~~Wiederholung~~

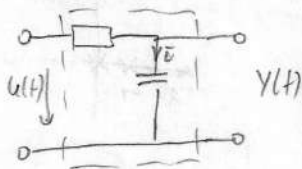
Bsp.: Lösung einer Differentialgleichung

$\ddot{x} + 5\dot{x} + 6x = \Sigma(t) \rightarrow p(0) = 0$

$s^2 X(s) + 5sX(s) + 6X(s) = \frac{1}{s}$

$(s^2 + 5s + 6)X(s) = \frac{1}{s} \Rightarrow X(s) = \frac{1}{s(s^2 + 5s + 6)}$

Bsp.: RC-Glied (vgl. erstes Beispiel)



$\dot{y} + \frac{1}{\tau} y = \frac{1}{\tau} u$

$sY + \frac{1}{\tau} Y = \frac{1}{\tau} U$

$\Rightarrow Y(s + \frac{1}{\tau}) = \frac{1}{\tau} U \Rightarrow Y = \frac{\frac{1}{\tau}}{s + \frac{1}{\tau}} U = \frac{1}{1 + s\tau} U$

Ann: $u(t) = \Sigma(t) \cdot U_0 \rightarrow U(s) = U_0 \frac{1}{s}$

$\Rightarrow Y(s) = \frac{U_0}{s(1 + s\tau)} = \frac{U_0}{\tau} \frac{1}{s(s + \frac{1}{\tau})}$

Bronstein 637

$\Rightarrow \underline{y(t) = \frac{U_0}{\tau} \cdot \tau (1 - e^{-\frac{t}{\tau}})}$

qed.

Anfangswert $y(0)$:

$$\lim_{t \rightarrow 0} y(t) = \lim_{s \rightarrow \infty} sY(s) = \lim_{s \rightarrow \infty} s \cdot \frac{U_0}{\tau} \frac{1}{s(s+\frac{1}{\tau})} = 0$$

Anfangssteigung $\dot{y}(0)$:

$$\begin{aligned} \lim_{t \rightarrow 0} \dot{y}(t) &= \lim_{s \rightarrow \infty} s^2 Y(s) = \lim_{s \rightarrow \infty} \frac{U_0 s}{\tau s + 1} \\ &= \frac{U_0}{\tau} \frac{s}{s + \frac{1}{\tau}} = \frac{U_0}{\tau} \end{aligned}$$

Endwert: $y(\infty)$:

$$\lim_{t \rightarrow \infty} y(t) = \lim_{s \rightarrow 0} s \cdot Y(s) = \lim_{s \rightarrow 0} \frac{U_0}{\tau} \frac{1}{s + \frac{1}{\tau}} = \underline{\underline{U_0}}$$

Mehrfache Pole:

→ Nenner enthält Ausdrücke der Form

$$(s - s_i)^n \quad n > 1$$

⇒ für jede Potenz von $s - s_i$ ein eigener Term bei der PBZ anzusetzen!

$$\text{Bsp: } \frac{1}{(s+1)^2(s+5)} = \underbrace{\frac{R_1}{s+1} + \frac{R_2}{(s+1)^2}}_{\text{2 Terme}} + \frac{R_3}{s+5}$$

→ Koeffizientenvergleich / ...

Konjugiert komplexe Polstellen im Laplace-Bereich

→ entsprechen Exponentialfunktionen mit komplexen Exponenten im Zeitbereich, \Rightarrow sin, cos - Funktionen! (gedämpft)

$$\mathcal{L}^{-1} \left\{ \frac{1}{s+4+jb} \right\} = e^{-(4+jb)t} = e^{-4t} \cdot (\cos(bt) - j \sin(bt))$$

(22)

Besitzt eine Übertragungsfunktion im Laplace-Bereich konjugiert komplexe Polstellen, so ist das zugehörige System schwingfähig!

Rücktransformation:

- Wenn möglich direkt mit Tabelle
- Aufspalten in Linearfaktoren und Zusammen setzen der Exponentialfunktionen zu trigonometrischen Funktionen im Zeitbereich (aufwändig aber "straight forward")
- Aufspalten in quadratische Faktoren, Erweitern auf vollständige Quadrate und direkte Rücktransformation in trigonometrische Funktionen (kürzer, aber Trickerei)

Bsp: $\ddot{x} + 2\dot{x} + 5x = \varepsilon(t) \quad \dot{x}(0) = x(0) = 0$

$$s^2 X + 2sX + 5X = \frac{1}{s} \Rightarrow X(s) = \frac{1}{s(s^2 + 2s + 5)}$$

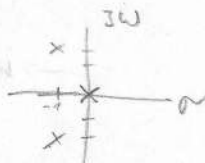
a) \rightarrow nicht möglich

b) \rightarrow Aufspalten in Linearfaktoren.

Berechnung der Polstellen von $X(s)$ (= 0-Stellen des Nennerpolyn.)

$s_1 = 0$ (trivial)

$s_{2/3}$: $s^2 + 2s + 5 = 0$ $\xrightarrow{\text{qgl.}}$ $s_1 = -1 + 2j$
 $s_2 = -1 - 2j$



\rightarrow Ostere;

$$X(s) = \frac{1}{s(s+1-2j)(s+1+2j)} =$$

Partialbruchzerlegung: $X(s) = \frac{R_1}{s} + \frac{R_2}{s+1-2j} + \frac{R_3}{s+1+2j}$

$$1 = R_1 (s+1-2j)(s+1+2j) + R_2 \cdot s(s+1+2j) + R_3 s(s+1-2j)$$

$$s_1 = 0 \Rightarrow R_1 (1-2j)(1+2j) = 1 \Rightarrow R_1 = \frac{1}{5}$$

$$s_2 = -1+2j$$

$$\Rightarrow R_1 \overset{0}{(-1+2j)} \overset{4j}{(-1+2j)} + R_2 \overset{4j}{(-1+2j)} \overset{4j}{(-1+2j)} + R_3 \overset{4j}{(-1+2j)} \overset{4j}{(-1+2j)} = 1$$

$$\Rightarrow 1 = R_2 (-1+2j) 4j = -4j - 8$$

$$\Rightarrow R_2 = \frac{1}{-8-4j}$$

$$\text{analog: } s_3 = -1-2j \Rightarrow R_3 = \frac{1}{-8+4j}$$

$$\Rightarrow X(s) = \frac{1}{5s} + \frac{1}{-8-4j} \frac{1}{s+1-2j} + \frac{1}{-8+4j} \frac{1}{s+1+2j}$$

$$x(t) = \sum (k) \cdot \left(\frac{1}{5} + \frac{1}{-8-4j} e^{-(1-2j)t} + \frac{1}{-8+4j} e^{-(1+2j)t} \right)$$

$$= \sum (k) \cdot \left[\frac{1}{5} - e^{-t} \left(\frac{1}{8+4j} e^{2jt} + \frac{1}{8-4j} e^{-2jt} \right) \right]$$

$$\frac{1}{5} \cos(2t) + \frac{1}{10} \sin(2t)$$

$$\Rightarrow x(t) = \frac{1}{5} \left[1 - e^{-t} \left(\cos(2t) + \frac{1}{2} \sin(2t) \right) \right] \quad (\text{komplot})$$

c) \rightarrow Aufspalten in quadratische Faktoren:

$$X(s) = \frac{1}{s(s^2+2s+5)} = \frac{A}{s} + \frac{Bs+C}{s^2+2s+5}$$

$$\Rightarrow 1 = As^2 + 2As + 5A + Bs^2 + Cs$$

Koeffizientenvergleich:

$$\left. \begin{array}{l} s^2: 0 = A + B \\ s^1: 0 = 2A + C \\ s^0: 1 = 5A \end{array} \right\} \Rightarrow A = \frac{1}{5}; B = -\frac{1}{5}; C = -\frac{2}{5}$$

$$\Rightarrow X(s) = \frac{1}{s} \left[\frac{1}{s} - \frac{s+2}{s^2+2s+5} \right]$$

↓ Erweitern auf vollständige Quadrate

$$= \frac{1}{s} \left[\frac{1}{s} - \frac{s+2}{(s^2+2s+1)+5-1} \right] =$$

$$= \frac{1}{s} \left[\frac{1}{s} - \frac{s+2}{(s+1)^2+4} \right] = \frac{1}{s} \left[\frac{1}{s} - \frac{(s+1)+1}{(s+1)^2+4} \right]$$

$$= \frac{1}{s} \left[\frac{1}{s} - \frac{s+1}{(s+1)^2+4} - \frac{1}{(s+1)^2+4} \right] =$$

$$= \frac{1}{s} \left[\frac{1}{s} - \frac{s+1}{(s+1)^2+4} - \frac{1}{2} \frac{2}{(s+1)^2+4} \right] =$$

$$\begin{array}{cc} \downarrow & \downarrow \\ e^{-t} \cos 2t & e^{-t} \sin 2t \end{array}$$

$$x(t) = \frac{1}{s} \mathcal{L}(t) \left[1 - e^{-t} \left(\cos(2t) + \frac{1}{2} \sin(2t) \right) \right] \quad \#$$

HÜ: Haager 0.3.5 d

$$X(s) = \frac{2s+5}{s^2+4s+5}$$

$$= 2 \cdot \frac{s+5/2}{(s+2)^2+1} = 2 \cdot \frac{s+2+\frac{1}{2}}{(s+2)^2+1}$$

$$= 2 \cdot \frac{s+2}{(s+2)^2+1} + \frac{1}{(s+2)^2+1}$$

$$\begin{array}{cc} \downarrow & \downarrow \\ 2e^{-2t} \cdot \cos t & e^{-2t} \cdot \sin t \end{array}$$

$$\Rightarrow x(t) = \underline{\underline{e^{-2t} [2 \cos t + \sin t]}}$$

HÜ (f.k.): Haage 0.3.5 e)

(25)

Lösen der Dgl. für verschwindende Anfangsbedingungen
($x(0) = \dot{x}(0) = 0$)

$$\ddot{x} + 6\dot{x} + 10x = 1$$

$$s^2 x + 6s x + 10x = \frac{1}{s} \Rightarrow x(s) = \frac{1}{s(s^2 + 6s + 10)}$$

$$\text{PBZ: } \frac{1}{s} = \frac{A}{s} + \frac{Bs + C}{s^2 + 6s + 10}$$

→ Koeffizientenvergleich

$$1 = As^2 + 6As + 10A + Bs^2 + Cs$$

$$\left. \begin{array}{l} s^2: 0 = A + B \\ s^1: 0 = 6A + C \\ s^0: 1 = 10A \end{array} \right\} \begin{array}{l} A = \frac{1}{10} \\ C = -\frac{6}{10} \\ B = -\frac{1}{10} \end{array}$$

$$\Rightarrow x(s) = \frac{1}{10} \left[\frac{1}{s} - \frac{s+6}{s^2+6s+10} \right] = \frac{1}{10} \left[\frac{1}{s} - \frac{(s+3)+3}{(s+3)^2+1} \right] =$$

$$= \frac{1}{10} \left[\frac{1}{s} - \frac{s+3}{(s+3)^2+1} - 3 \frac{1}{(s+3)^2+1} \right] \Rightarrow$$

$$x(t) = \frac{1}{10} \left[1 - e^{-3t} \cos t - 3 e^{-3t} \sin t \right]$$

$$= \frac{1}{10} \left[1 - e^{-3t} (\cos t - 3 \sin t) \right]$$

Frequenzgang:

Wird ein LTI-System mit einer sinus- oder kosinusförmigen Eingangsgröße angeregt, erhält man am Ausgang wieder eine sinus- oder kosinusförmige Größe mit der selben Frequenz, aber mit einer u. A. anderen Amplitude und Phasenlage (harmonische Antwort.).

$$\begin{aligned}
 u(t) &= \hat{u} \cdot \cos(\omega t) \\
 &= \hat{u} \cdot \operatorname{Re}[e^{j\omega t}]
 \end{aligned}
 \quad \xrightarrow{G(j\omega)} \quad
 \begin{aligned}
 y(t) &= \hat{y} \cos(\omega t + \varphi) \\
 &= \hat{y} \cdot \operatorname{Re}[e^{j(\omega t + \varphi)}]
 \end{aligned}$$

$G(j\omega)$ — Frequenzgang

Wie erhält man nun $G(j\omega)$?

→ Formel: Aus der Übertragungsfunktion $G(s)$ durch Ersetzen von s durch $j\omega$ (ohne Beweis)

Es gilt weiter:

$$\left. \begin{aligned}
 Y(j\omega) &= \hat{y} \cdot e^{j(\omega t + \varphi)} \\
 U(j\omega) &= \hat{u} \cdot e^{j\omega t}
 \end{aligned} \right\} \quad \boxed{G(j\omega) = \frac{Y(j\omega)}{U(j\omega)}}$$

$$= \frac{\hat{y}}{\hat{u}} \cdot e^{j\varphi}$$

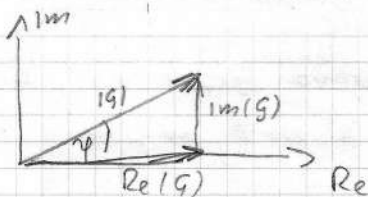
Die mathematische Beschreibung mit sinusförmig eingeschrungenen Zuständen – in den komplexen Zahlenbereich erweitert – wird Darstellung im Frequenzbereich genannt.

Alle physikalischen Größen sind hier nicht von der Zeit sondern von der Kreisfrequenz ω abhängig.

ω tritt immer gemeinsam mit der imaginären Einheit j auf, daher wird „ $j\omega$ “ als unabhängige Variable angesehen.

Betrag des Frequenzgangs $|G(j\omega)|$:

$$\begin{aligned}
 G(j\omega) &= |G(j\omega)| \cdot e^{j\arg(G(j\omega))} = \frac{\hat{y}}{\hat{u}} \cdot e^{j\varphi} \\
 &= \operatorname{Re}[G(j\omega)] + j \operatorname{Im}[G(j\omega)]
 \end{aligned}$$



$$\begin{aligned}
 G(j\omega) = G &= |G| e^{j\varphi} = |G| [\cos(\varphi) + j \sin(\varphi)] \\
 &= \underbrace{|G| \cdot \cos(\varphi)}_{\text{Re}[G]} + j \underbrace{|G| \cdot \sin(\varphi)}_{\text{Im}[G]}
 \end{aligned}$$

Zusammenfassung:

$$\begin{aligned}
 |G| &= \sqrt{(\text{Re}[G])^2 + (\text{Im}[G])^2} \\
 \varphi &= \arctan(\text{Im}[G] / \text{Re}[G]) \\
 \text{Re}[G] &= |G| \cdot \cos(\varphi) \\
 \text{Im}[G] &= |G| \cdot \sin(\varphi)
 \end{aligned}$$

Beispiel: Ohm'sches Gesetz:

Elektrotechnik: $U = Z \cdot I$ Schreibweise in der ET

Regelungstechnik: $U(j\omega) = Z(j\omega) \cdot I(j\omega)$ — " — " — RT

ET: w.z.A. Konst., es interessiert i.A. die Abhängigkeit von $U(I, \varphi)$ von L, R, \dots

RT: Frequenzverhalte des Systems ist von Interesse (= Reaktion des Systems auf eine Eingangsgröße in Abhängigkeit von ω)

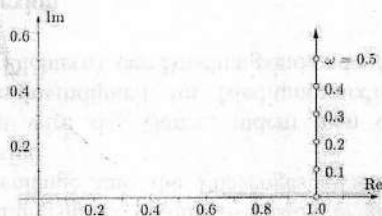
Ortskurven

$G(j\omega)$ liefert für jedes ω einen komplexen Zahlenwert. Menge aller Zahlenwerte für $0 \leq \omega < \infty$ beschreibt in der komplexen Zahlenebene eine s.g. Ortskurve

Ortskurve: = Darstellung von $G(j\omega)$ in der komplexen Zahlenebene. Sie beginnt bei $\omega=0$ und endet bei $\omega=\infty$.

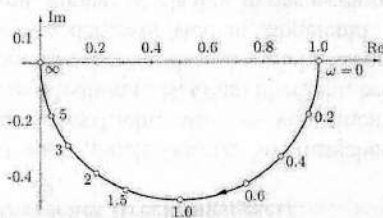
Beispiel:

$$G(s) = 1 + s, \quad G(j\omega) = 1 + j\omega \Rightarrow \begin{aligned} \operatorname{Re} G(j\omega) &= 1 = \text{const.} \\ \operatorname{Im} G(j\omega) &= \omega \end{aligned}$$



Beispiel:

$$G(s) = \frac{1}{1+s}, \quad G(j\omega) = \frac{1}{1+j\omega} = \frac{1-j\omega}{1+\omega^2} \Rightarrow \begin{aligned} \operatorname{Re} G(j\omega) &= \frac{1}{1+\omega^2} \\ \operatorname{Im} G(j\omega) &= \frac{-\omega}{1+\omega^2} \end{aligned}$$



ω	$\operatorname{Re} G(j\omega)$	$\operatorname{Im} G(j\omega)$
0.0	1.000	0.000
0.2	0.962	-0.192
0.4	0.862	-0.344
0.6	0.735	-0.442
1.0	0.500	-0.500
1.5	0.308	-0.462
2.0	0.200	-0.400
3.0	0.100	-0.300
5.0	0.038	-0.192
∞	0	0

Es gilt allgemein (ohne Beweis):

Ist die Ortskurve $G(j\omega)$ in der komplexen Zahlenebene eine (Halb-) Gerade, so ist die Ortskurve von $1/G(j\omega)$ ein (Halb-) Kreis und umgekehrt.

Die Inversion einer Gerade in der komplexen Zahlenebene ergibt einen Kreis.

Bode Diagramme

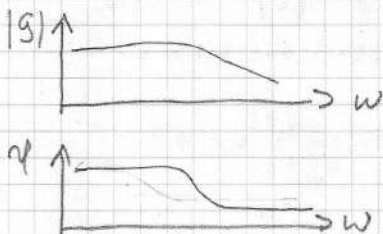
(24)

Gewante Darstellung von $|G(j\omega)|$ und $\varphi(-\arg(s))$

Besondere Bedeutung in der Regelungstechnik!

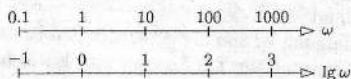
→ viele Eigenschaften eines Regelkreises lassen sich am Bode-Diagramm der offenen Regelschleife ablesen!

→ Wichtiges Werkzeug im klassischen Reglerentwurf!

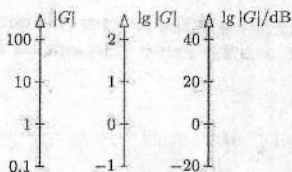


Skalierung für $|G|$, ω erfolgt im logarithmischen Maßstab!

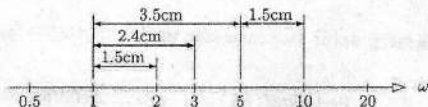
Skalierung für ω :



Skalierung für $|G|$:



Für die Zeichnung ist in den meisten Fällen ein Maßstab von 5 cm/Dekade günstig, damit ergibt sich folgende, leicht zu merkende Skalierungshilfe:



Achtung: Im logarithmischen Maßstab entspricht ein bestimmter Abstand nicht einer Differenz sondern einem Verhältnis!

Achtung: Im logarithmischen Maßstab entspricht ein bestimmter Abstand nicht einer Differenz, sondern einem Verhältnis!

30

Auffinden von Punkten einer logarithmischen Skala (bei m cm/Dekade):

$$\begin{aligned} \Delta x_{\text{Bode}} &\stackrel{\wedge}{=} m \cdot \lg x_{\text{absolut}} \\ x_{\text{absolut}} &\stackrel{\wedge}{=} 10^{\Delta x_{\text{Bode}}/m} \end{aligned} \quad (0.41)$$

Δx_{Bode} ... Abstand im Bodediagramm in cm
 x_{absolut} ... Verhältnis zweier Größen
 m ... Maßstab in cm/Dekade

Beispiel:

$$\begin{aligned} \frac{x}{1} &\stackrel{\wedge}{=} 8.2 \text{ cm} \quad \dots \quad x = 43.65 \\ \frac{x}{10} &\stackrel{\wedge}{=} 3.2 \text{ cm} \quad \dots \quad \frac{x}{10} = 4.365 \Rightarrow x = 43.65 \end{aligned}$$

Bodediagramm eines Verzögerungsgliedes erster Ordnung (PT_1):

$$G(s) = \frac{k}{1 + sT_1}, \quad k = 10, \quad T_1 = 2$$

$$G(j\omega) = \frac{k}{1 + j\omega T_1}$$

$$|G(j\omega)| = \frac{k}{\sqrt{1 + \omega^2 T_1^2}} = \frac{|Z|}{|N|} = \frac{10}{\sqrt{1 + 4\omega^2}}$$

$$\arg G(j\omega) = \arg Z - \arg N = 0 - \arctan \frac{\omega T_1}{1} = -\arctan 2\omega$$

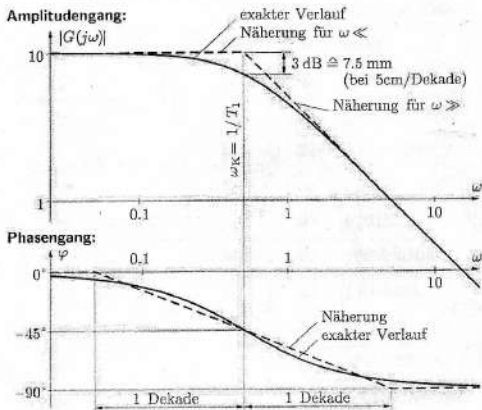
Näherung für kleine Kreisfrequenzen ($\omega \ll$):

$$\begin{aligned} |G| &\approx k = 10 \\ \arg G &\approx 0 \end{aligned}$$

Näherung für große Kreisfrequenzen ($\omega \gg$):

$$\begin{aligned} |G| &\approx \frac{k}{\omega T_1} = \frac{5}{\omega} \\ \arg G &\approx -90^\circ \end{aligned}$$

ω	$ G(j\omega) $	$\arg G(j\omega)$
0	10	0
0.1	9.8	-11.3°
0.5	7.07	-45.0°
0.7	5.81	-54.5°
1.0	4.47	-63.4°
2	2.43	-76°
∞	0	-90°



Asymptoten des Amplitudenganges (Behav-verlauf in weiten Bereichen der Kreisfrequenz eine gute Näherung.

In der Umgebung der Knickfrequenz ω_K ergeben sich aber nennenswerte Abweichungen:

$$k = \frac{k}{\omega T_1} \Big|_{\omega = \omega_K}$$

$$\Rightarrow \omega_K = 1/T_1$$

Asymptoten des Phasenganges (0° für ω klein, -90° für ω groß) bilden in der Nähe von ω_k keine brauchbare Näherung. (31)

Brauchbare Näherung: Linearer Übergang in einem Bereich $0,1\omega_k \dots 10\omega_k$ und die Asymptoten selbst außerhalb dieses Bereichs.

Maximaler Fehler der Amplitudennäherung F_A :

$$F_{A \max} \text{ bei } \omega = \omega_k = \frac{1}{T_1}$$

$$|G_{\text{exakt}}| = \frac{k}{\sqrt{1 + \omega^2 T_1^2}} \Big|_{\omega = 1/T_1} = \frac{k}{\sqrt{1 + T_1^2/T_1^2}} = \frac{k}{\sqrt{2}}$$

$$|G_{\text{geräthart}}| = k$$

$$\Rightarrow \frac{|G_{\text{geräthart}}|}{|G_{\text{exakt}}|} = \sqrt{2} \approx 1,41 = \underline{\underline{3 \text{ dB}}}$$

Steigung des Amplitudengangs:

$$x^n \rightarrow \lg x^n = n \cdot \lg x$$

\lg Exponentialfunktion \rightarrow Gerade im Diagramm!

gilt auch für negative Potenzen!

In obigem Beispiel: Asymptote für große $\omega_k \sim \frac{1}{\omega} = \omega^{-1}$
 \Rightarrow Steigung $= -1 = 20 \text{ dB/Dekade!}$

Bode-Diagramm zusammengeordneter Frequenzgänge:

$$G(j\omega) = G_1(j\omega) \cdot G_2(j\omega) \dots G_n(j\omega)$$

$$|G(j\omega)| = |G_1(j\omega)| \cdot |G_2(j\omega)| \dots |G_n(j\omega)|$$

$$\Rightarrow \lg |G(j\omega)| = \lg |G_1(j\omega)| + \lg |G_2(j\omega)| + \dots + \lg |G_n(j\omega)|$$

→ Betragskennlinie kann durch Addition der Verläufe
 G_1, G_2, \dots, G_n zusammengesetzt werden. ↳ logarithmisch!

Phasenverlauf:

$$\arg(G(j\omega)) = \arg(G_1(j\omega)) + \arg(G_2(j\omega)) + \dots + \arg(G_n(j\omega))$$

→ Phasen können ebenfalls durch Addition der einzelnen Verläufe (linear!) zusammengesetzt werden!

⇒ Bodediagramme komplizierter Frequenzgänge können (graphisch) einfach zusammengesetzt werden!

Bsp.:

$$G(s) = \frac{1+sT_1}{1+sT_2}, \quad T_1=1, \quad T_2=0.2$$

$$G(j\omega) = \frac{1+j\omega T_1}{1+j\omega T_2} = \underbrace{(1+j\omega T_1)}_{G_1} \cdot \underbrace{\frac{1}{1+j\omega T_2}}_{G_2}$$

$$\left. \begin{aligned} &\Rightarrow |G(j\omega)| = \\ &|G_1(j\omega)| \cdot |G_2(j\omega)| \\ &= \sqrt{\frac{1+\omega^2 T_1^2}{1+\omega^2 T_2^2}} \end{aligned} \right\}$$

$$\arg G(j\omega) = \arctan(\omega T_1) - \arctan(\omega T_2)$$

Näherung für sehr kleine ω :

$$\left. \begin{aligned} |G_1| &\sim 1; \arg(G_1) \sim 0 \\ |G_2| &\sim 1; \arg(G_2) \sim 0 \end{aligned} \right\} \Rightarrow |G| \approx 1 \quad \arg(G) \approx 0$$

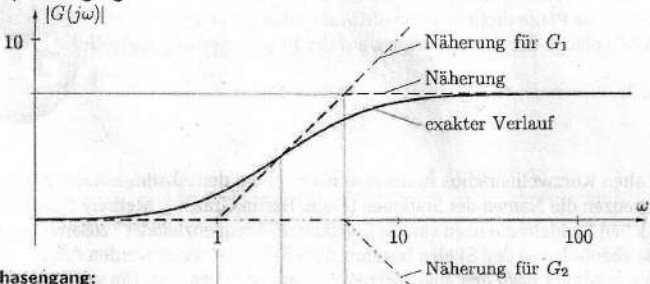
Näherung für große ω :

$$\left. \begin{aligned} |G_1| &\approx \omega \cdot T_1 \approx \omega; \arg G_1 \sim 90^\circ \\ |G_2| &\approx \frac{1}{\omega T_2} = \frac{5}{\omega}; \arg G_2 \sim -90^\circ \end{aligned} \right\} \begin{aligned} |G| &\sim 5; \\ \arg(G) &\sim 0 \end{aligned}$$

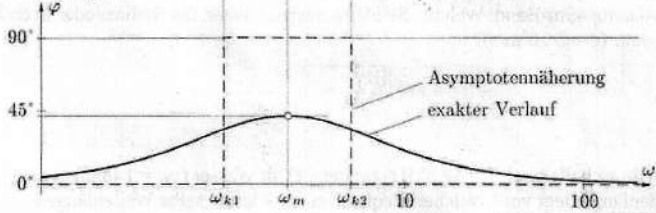
Knickfrequenzen ω_{K1}, ω_{K2} :

$$\omega_{K1} = \frac{1}{T_1} = 1; \quad \omega_{K2} = \frac{1}{T_2} = 5$$

Amplitudengang:



Phasengang:



→ Phasen anhebendes System

Exakte Berechnung der maximalen Phasenhebung:

$$\frac{d}{dw} \arg G(jw) = \frac{d}{dw} [\arctan w T_1 - \arctan w T_2] \stackrel{!}{=} 0$$

$$\frac{d}{dx} (\arctan(x)) = \frac{1}{1+x^2}$$

$$= \frac{T_1}{1+w^2 T_1^2} - \frac{T_2}{1+w^2 T_2^2} \stackrel{!}{=} 0$$

$$\Leftrightarrow T_1 (1+w^2 T_2^2) = T_2 (1+w^2 T_1^2)$$

$$T_1 + w^2 T_1 T_2^2 = T_2 + w^2 T_1^2 T_2$$

$$w^2 T_1 T_2 (T_2 - T_1) = T_2 - T_1$$

$$\underline{\underline{w_m = w = \frac{1}{\sqrt{T_1 T_2}}}}$$

→ maximale Phasenhebung beim geometrischen Mittel der beiden Knickfrequenzen

$$\Rightarrow \max [\arg (G(jw))] = \arg (G(jw)) \Big|_{w=w_m}$$

$$= \arctan(w_m T_1) - \arctan(w_m T_2)$$

$$= \arctan\left(\sqrt{\frac{T_1}{T_2}}\right) - \arctan\sqrt{\frac{T_2}{T_1}} = \arctan(\sqrt{5}) - \arctan(\sqrt{7}) = 41.8^\circ$$

Phasenminimumsysteme (reguläre Systeme, Minimalphasensysteme)

(34)

Sind Systeme ohne Totzeit, bei denen die Übertragungsfunktion $G(s)$ nur Pole und Nullstellen in der linken (imaginären) s -Halbebene hat.

Für einen gegebenen Amplitudengang hat ein Minimalphasen-System eine minimale Phasenverschiebung.

Dabei zeigt sich, dass bei diesen Systemen einer bestimmten Steigung (logarithmisch) der Asymptote der Betragskennlinie einem bestimmten Wert der Asymptote des Phasengangs zugeordnet werden kann:

Steigung von $\lg G(j\omega) $	0	$\rightarrow \varphi = 0$
	1	$\rightarrow \varphi = 90^\circ$
	2	$\rightarrow \varphi = 180^\circ$
	-1	$\rightarrow \varphi = -90^\circ$
	-2	$\rightarrow \varphi = -180^\circ$

Minimalphasensysteme spielen bei der Stabilitätsbehandlung von Regelkreisen eine wichtige Rolle, da sie sog. "interne" Stabilität aufweisen.

Deshalb genügt bei Minimalphasensystemen die Kenntnis des Amplitudengangs, um auf die Übertragungsfunktion schließen zu können!